

Шерман С.И. и др. Геология и сейсмичность зоны БАМ. Неотектоника- Новосибирск: Наука, 1984.

308с.

Шерман С.И. и др. Разломообразование в литосфере. Зоны растяжения. Новосибирск: Наука. Сиб.

Отд-ние, 1992. 228с.

Чамович, С.В. Иванова, С.И. Шерман

и земной коры СО РАН

## ВЛИЯНИЕ ТЕМПЕРАТУРНОГО ФАКТОРА В ЭВОЛЮЦИИ НАПРЯЖЕННОГО СОСТОЯНИЯ БАЙКАЛЬСКОЙ РИФТОВОЙ ЗОНЫ

Байкальская рифтовая зона (БРЗ), крупнейшая в Евразии внутриконтинентальная рифтовая образовалась в кайнозойскую эру вследствие грандиозных процессов горизонтального литосферы. Эти процессы происходили в узкой (до 200-300 км) протяженной (около 1000 км) области на фоне общего раздвижения плит и формирования сводового поднятия. БРЗ характеризуется сочетанием грабенообразных впадин на фоне сводового поднятия. Для БРЗ характерно общее уменьшение мощности земной коры, наличие тектонических слоев и мощного восходящего потока аномального вещества во всем разрезе мантии. Результаты геофизических исследований позволяют предположить, что формирование напряженно-деформированного состояния (НДС) литосферы БРЗ находится в прямой зависимости от температурного режима, формирующегося в результате аномального разогрева слоя литосферы в результате восхождения мантийного плюма до 70-километровой глубины. Подъем аномальной мантии энергетически обеспечивает начало рифтогенеза в БРЗ. Подъем сопровождается формированием ареала температурной аномалии. Под БРЗ создается квазистационарное температурное поле, которое в сочетании с гравитацией возбуждает (активизирует) верхний слой и дает старт деформационному процессу в регионе.

Наличие высокотемпературной аномальной мантии, приводящей к формированию в БРЗ особого теплового режима, вызывает необходимость исследования НДС (и температурного поля) в рамках теории температурных напряжений, основанной на упрощенном представлении об отсутствии влияния деформации на поле температуры.

Для моделирования выбран региональный профиль, пересекающий Сибирскую платформу, южную часть БРЗ через оз. Байкал и частично Забайкальскую складчатую область, т.е. центральную часть БРЗ. Для него характерно раздвиговое поле напряжений с субгоризонтальным расположением осей растяжения, ориентированных в северо-западном направлении, вкрест северо-западного простирания основных рифтовых структур, что обусловило моделирование режима раздвижения центральной части БРЗ в рамках "плоской деформации". Оно выполнялось для верхней части литосферы (вертикальный разрез: 600 км × 70 км), где верхний горизонтальный слой земной коры с начальной мощностью 40 км, а нижний слой - литосферной мантии с мощностью 30 км (рис. 1). Северо-западная (СЗ) часть на графическом разрезе расчётной области соответствует юго-восточной части Сибирской платформы (расстояние от оси ординат 0-250 км), южная часть включает территорию БРЗ с акваторией оз. Байкал (250-350 км) и Юго-восточную область (ЮВ) - соответствует Забайкальской складчатой области (350-600 км). Осевой линии соответствует  $x=300$  км. Размеры расчётной области позволяют исключить влияние внешних условий на результаты моделирования эволюции напряженного состояния БРЗ. В таблице представлены величины, принятые для параметров вертикального разреза литосферы

В связи с тем, что поднятие поверхности астеносферы под БРЗ и сопредельными областями является асимметричным (вследствие чего и возникают горизонтальные вариации температуры), на нижней границе задавались разные значения температур: для юго-восточной

части Сибирской платформы и для Забайкалья соответственно  $660^0\text{C}$  и  $900^0\text{C}$ , а для центральной части –  $1300^0\text{C}$  (таким упрощенным способом моделировалось воздействие на слой литосферы температурной аномалии, возникшей в результате подъема вещества аномальной мантии). Моделирование позволило рассчитать сложное распределение температур в вышележащих слоях. В природных условиях это означает, что градиент температуры является генератором температурных напряжений, приводит к неоднородной деформации литосферы и формирует геологические структуры. Для оценки НДС решалась система уравнений, состоящая из уравнений равновесия, соотношений Коши и физических уравнений Дюамеля-Неймана, связывающих темпера- деформации с тензором напряжений. Для начала рифтогенеза принято отсутствие вертикальных смещений на нижней границе и горизонтальных смещений на вертикальных границах.

Таблица 1

**Физические параметры земной коры и верхней мантии, принятые для моделирования**  
**В скобках указаны параметры, учитывающие проникновение аномальной мантии в**  
**литосферу**

Физические параметры	Слои литосферы	Земная кора и участки с измененными характеристиками		Мантийная часть литосферы и участки с измененными характеристиками	
		обобщенные параметры	Верхняя кора БРЗ	обобщенные параметры	Параметры внутренней неоднородности
Модуль Юнга, Па		$0,85 \cdot 10^{11}$	$0,8 \cdot 10^{11}$	$1,8 \cdot 10^{11}$	$1,4 \cdot 10^{11}$ (1,45)
Коэффициент Пуассона	$\nu$	0,25	0,24	0,27	0,28
Плотность, $\text{кг}/\text{м}^3$	$\rho$	2750	2600	3250	3000 (3200)
Линейный коэффициент теплового расширения, $1/\text{град}$	$\alpha$	$0,8 \cdot 10^{-5}$	$0,8 \cdot 10^{-5}$	$1,5 \cdot 10^{-5}$	$1,5 \cdot 10^{-5}$ (1,45)
Прочность сцепления горных пород, МПа	$c$	40	40	50	50
Угол внутреннего трения	$\phi$	$40^0$	$40^0$	$30^0$	$25^0$
Коэффициент теплопроводности $\text{Вт}/(\text{м}\cdot\text{град})$	$k$	2,2	2,2	3,1	3,1

Результаты моделирования показали, что деформации литосферы на начальной стадии выразились преимущественно в виде вертикальных движений и формировании связанных поднятия, связанных с поперечным изгибом. В верхней части земной коры проявляются горизонтальные растягивающие напряжения, вызывающие деструкцию земной коры и трещиноватости. Кроме того, создаются условия для возникновения в мантийной части литосферы деструктивной геологической структуры, являющейся зоной для проникновения глубинного вещества и тепла. Естественно, эти возникающие на инициальной стадии областях структурных вещественных неоднородностей имеют иные физико-механические свойства. Изначально дальнейшего исследования условий развития основных рифтовых структур и анализа напряженного состояния требуется модификация модели. Структурно-вещественные неоднородности в литосферной мантии и верхней части земной коры отражаются как на имеющие другие физико-механические свойства.

Моделирование показало, что области структурно-вещественных неоднородностей меняют напряженно-деформированного состояния модели литосферы. Нижняя граница данного литосферного слоя становится неустойчивой, что фиксируется изменением сил на нижней границе центральной части расчетной области. Появляется дополнительная действующая воздействия нижних слоев, приводящая к смещению вверх нижней границы модели (рис. 1А). Поэтому далее при моделировании на части нижней границы задаются силы, имеющие действие на нижние слои мантии до введения структурных неоднородностей. В этом это означает, что в соответствующей области формируются условия для поступления в аномальной мантии.

А

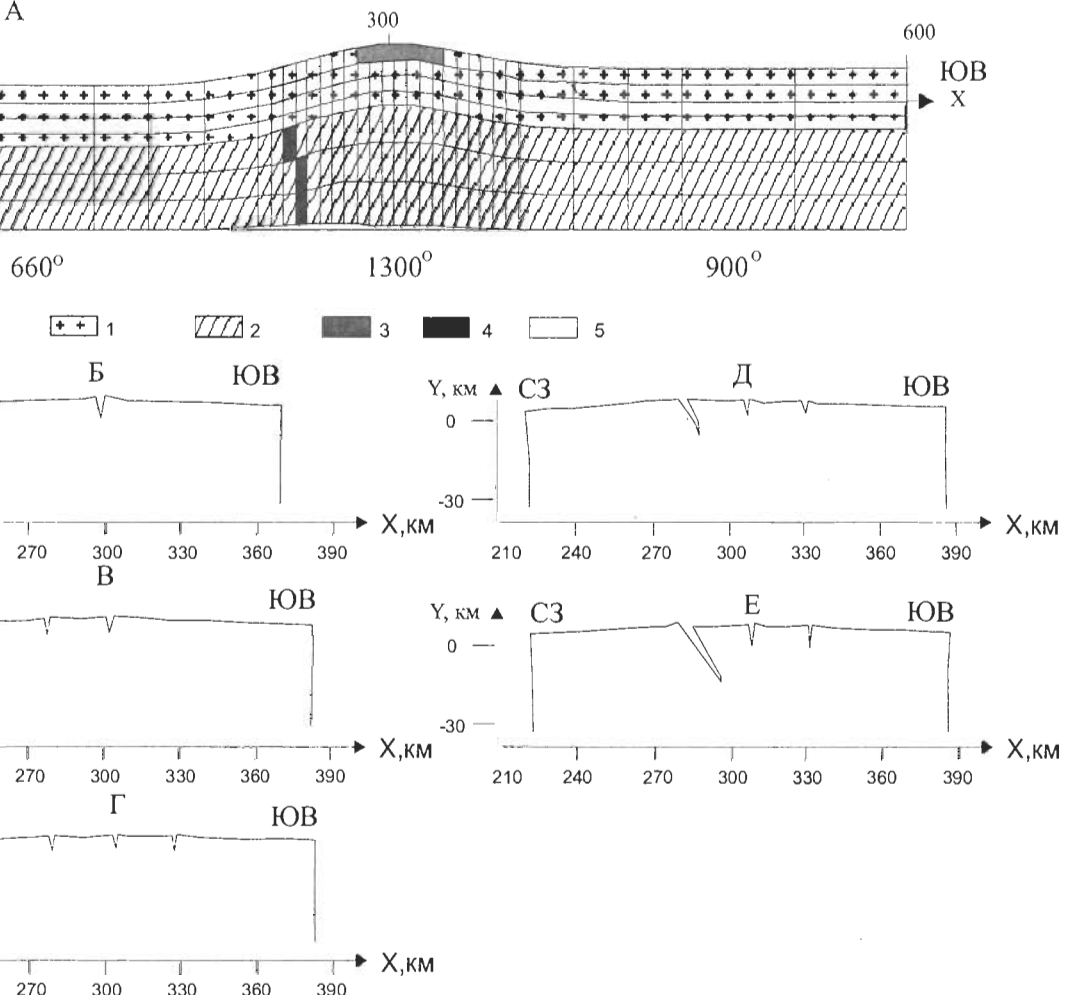


Рис. 1. Характеристики состояния модели литосферного слоя. А. Вид деформированной модели до сводового поднятия. 1-земная кора; 2- литосферная мантия; 3- неоднородность в коре; 4- неоднородность в литосферной мантии; 5- область проникновения аномальной мантии. Б-Е. Стадийность появления и развития разломов: вид части деформированной модели. Для удобства масштаб смещений пропорционально искажен.

Структурные неоднородности приводят к тому, что в центральной части увеличивается ранее образовавшегося свода с относительно крутым и четко выраженным северо-западным бортом и пологим юго-восточным. Наличие структурных неоднородностей в литосфере меняет картину распределения напряжений. Возникшее напряженное состояние обеспечивает для образования субвертикальной области в нижней части коры и для увеличения глубины неоднородности, способствующей миграции расплавленного вещества или флюидов. В коре центральной части БРЗ концентрируется высокая напряженность, указывающая на дальнюю эволюцию БРЗ, связанную с интенсивным разрушением сводового поднятия.

Таким образом, дальнейший ход эволюции НДС должен связываться с изменением взаимодействия региона и внешней среды. Поэтому на нижней границе модели вводятся дополнительные вертикальные силы, отражающие возрастающее давление аномальной области выше лежащие слои. На ЮВ вертикальной границе задаются сжимающие компенсирующие усилия, рассчитанные по модели, не нарушенной структурными неоднородностями и разрывами коры. Учет проникновения аномальной мантии также находит свое отражение в физических параметрах мантийной неоднородности. Внедрение аномальной мантии и изменение граничных условий приводят к росту растягивающих напряжений в сводовом поднятии и вызывает разрушение. В верхней части земной коры закладываются разломы. Направление и глубина разломов обусловлены векторами главных растягивающих напряжений. Учет развики конвективного течения осуществлялся заданием на части нижней границы модели горизонтальных сил с возрастающей величиной в соответствии с моделированием оттока вещества из аномальной мантии в юго-восточном направлении.

Последовательность появления и развития разломов, разрушающих свод и снимающих напряженность, показана на рис.Б-Е. Разрушение свода приводит к постепенному уменьшению величин горизонтальных растягивающих напряжений в разных частях. Однако с течением времени все сильнее должно проявляться влияние развивающегося конвективного течения, которое моделировалось заданием горизонтальных сил на нижней границе модели. Их действие приводит к закономерному углублению северо-западного разлома, в результате чего закладывается асимметричная рифтовая впадина. Из анализа растягивающих главных напряжений можно сделать вывод, что в процессе эволюции БРЗ происходит ее расширение в юго-восточном направлении и углубление главных разломов до 20 - 25 км.

Формирование структур в верхней части земной коры находит свое отражение в характере изменения мощности земной коры: максимальное ее утонение фиксируется в зоне сброса в южной части разреза. В целом, в процессе начального этапа рифтогенеза происходит уменьшение мощности земной коры и растяжение порядка 1 км рассматриваемого литосферного слоя в горизонтальном направлении на юго-восток.

Теоретически дальнейшая эволюция рифта может быть связана как с активизацией разломов в ЮВ части разреза, так и с разломом в осевой части разреза. В любом случае максимальные значения растягивающих главных напряжений смещаются в юго-восточное плечо рифта. Представляется, что в природной ситуации миграция напряженности характеризуется большим количеством переходов. Однако, в конечном счете «разрушающая напряженность» будет смещаться в юго-восточном направлении. Применительно к БРЗ это означает, что ее юго-восточное плечо будет развиваться в структурном плане медленнее северо-западного.

Таким образом, температурная аномалия, возникающая вследствие воздействия на свод литосфера разогретой аномальной мантии, является одним из источников рифтогенеза. Она способствует формированию прототипов главных структурных элементов БРЗ, тем самым играя важную роль как на ранней, так и на наиболее поздних стадиях эволюции рифта. Именно температурная аномалия определяет характер геодинамических процессов, происходящих в литосфере БРЗ.

Результаты численного моделирования позволили проанализировать влияние температурного режима БРЗ на сейсмический процесс. Используя понятие «степень относительной деструкции», на вертикальном разрезе литосферы выделены слои с низкой и высокой степенью относительной деструкции (их появление связано с распределением по глубине давления и температур), а также соответственно асейсмичные и сейсмоактивные слои. Анализ показывает, что сейсмичность может локализоваться как в отдельных слоях, так и в узких линейных зонах. При этом в центральной части БРЗ слои с высокой степенью относительной деструкции (сейсмоактивные) фиксируются в земной коре до глубины 25 км. На глубине 30-40 км расположен асейсмичный слой. Эти результаты согласуются с данными о положении подошвы сейсмоактивного слоя и о затухании активности ниже 30 км. Узкая сейсмоактивная зона, приуроченная к глубине разлома, фиксируется и в мантийной части литосферы на глубинах от 45 км и ниже.

Моделирование дает основание считать, что механизм деформирования литосферы БРЗ основан на том, что лежит температурная аномалия, инициировала процесс рифтогенеза.

Температурная аномалия привела к возникновению горизонтальных растягивающих напряжений в верхней части земной коры и процессов деструкции в литосфере. Это начало зарождения рифта, которое свидетельствует, что температурный режим на инициальной стадии рифтогенеза играет определяющую роль в деформировании литосферы и в вариациях ее напряженного состояния. Дальнейшее моделирование для среды с нарушениями сплошности показало, что аномальный разогрев участка литосферы вызывает разрушение ранее образовавшегося сводового поднятия, приводящее к формированию крупных разломов, окаймляющих рифтовые впадины. При этом дальнейшее образование верхней части земной коры связано с миграцией максимальных значений горизонтальных растягивающих напряжений.

Резюмируя результаты проведенных исследований начальной стадии эволюции напряженно-деформированного состояния БРЗ, отметим, что аномальный разогрев слоя литосферы является достаточным условием для начальной стадии рифтогенеза в Байкальском регионе.

Работа выполнена при поддержке РФФИ (гранты 01-05-64485, 01-05-97226, 03-05-65276) и Президиума РАН (№13, проект 12).

Ю.А. Алакшин  
Институт земной коры (ИЗК) СО РАН, Иркутск, Россия

## ТЕКТОНИЧЕСКИЕ ГРАВИТАЦИОННЫЕ НАПРЯЖЕНИЯ В ЗЕМНОЙ КОРЕ РАЙОНА БАЙКАЛЬСКОЙ ВПАДИНЫ

Под гравитационными напряжениями понимаются напряжения, обусловленные геостатического давления на некоторой глубине. Геостатическое давление выражается из двух компонент:

- нагрузки на верхнюю часть литосферы различных форм рельефа земной поверхности;
- гравитационных неоднородностей, вызванных вариациями плотности крупных объемов коры.

Гравитационные напряжения, в свою очередь, являются одной из составляющих общего поля напряжений, главные из которых – напряжения, образованные силами I порядка, действующими на границах литосферных плит [5]. Для межплитных границ напряжения по ряду плит могут достигать сотен МПа [3]. Суммарные напряжения во внутренних частях плит выражаются величинами в среднем 20-30 МПа, иногда до 60-70 МПа, что, как правило, преобладает над гравитационными напряжениями. В определенных условиях в верхней континентальной коре могут возникать значительные сжимающие нагрузки (порядка 90 МПа), обусловленные силами тяжести [5].

Гравитационные напряжения, в отличие от других составляющих общего поля напряжений, могут быть оценены количественно в любой точке изучаемого пространства. Это становится возможным благодаря применению изостатической модели к процессу разделения общего поля на составляющие. В результате выделяется компонента гравитационных напряжений, обусловленная изменениями плотности верхней части земной коры или «гравитационно-активного» слоя [1,6].

Исследователям давно известна расслоенность литосферы по реологическим свойствам, в связи с чем предлагается механизм перемещения коровых пластин. На формирование слоя верхней пластиности, кровля которого или отделитель (*detachment*) в активных областях перемещена на глубинах 8-15 км, указывают наличие сейсмического волновода (глубинные гравиметрические зондирования - ГСЗ), высокопроводящего слоя (магнитотеллурические зондирования - МТЗ), а также данные глубинной сейсморазведки отраженными волнами (ОГТ), которым сейсмические особенности верхней и средней-нижней коры существенно